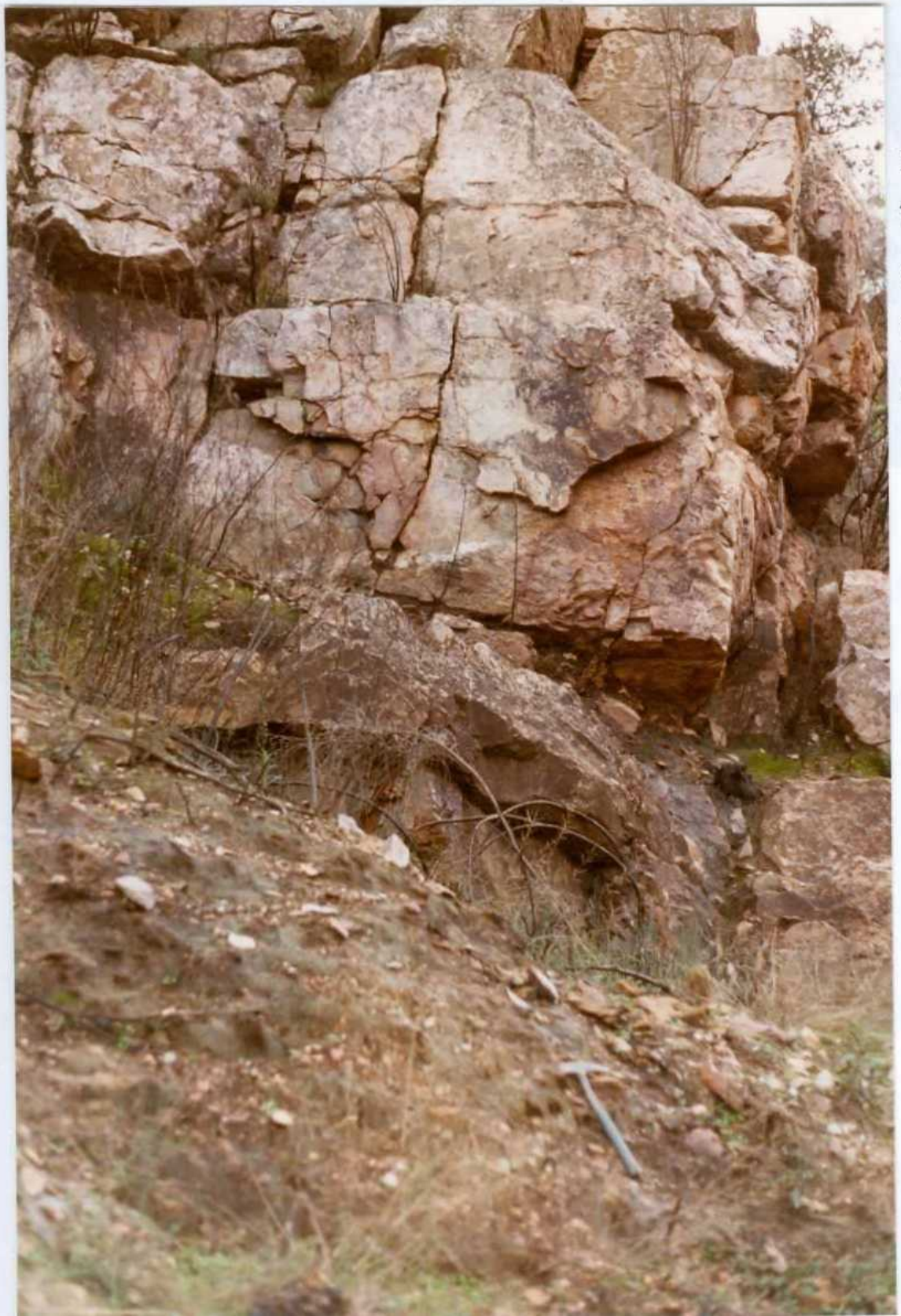


LB 9001

Vista parcial de sedimentos del C.E.G. Observese el dique de cuarzo emplazado según los planos de esquistosidad S_1.



LB 9002

Vista general del contacto entre los materiales del - C.E.G. (7) del Precámbrico superior y las cuarcitas - (8) del Ordovicico inferior.



LB 9003

Detalle de pliegues tardihercínicos de plano axial - subhorizontal y dirección N100-120 E situado a 2,5 km siguiendo la vía del FF.CC. al SE de la estación de - Malpartida.



LB 9004

Panorámica del resalte topográfico que presentan las grauvacas feldespáticas (g) existentes en el C.E.G.



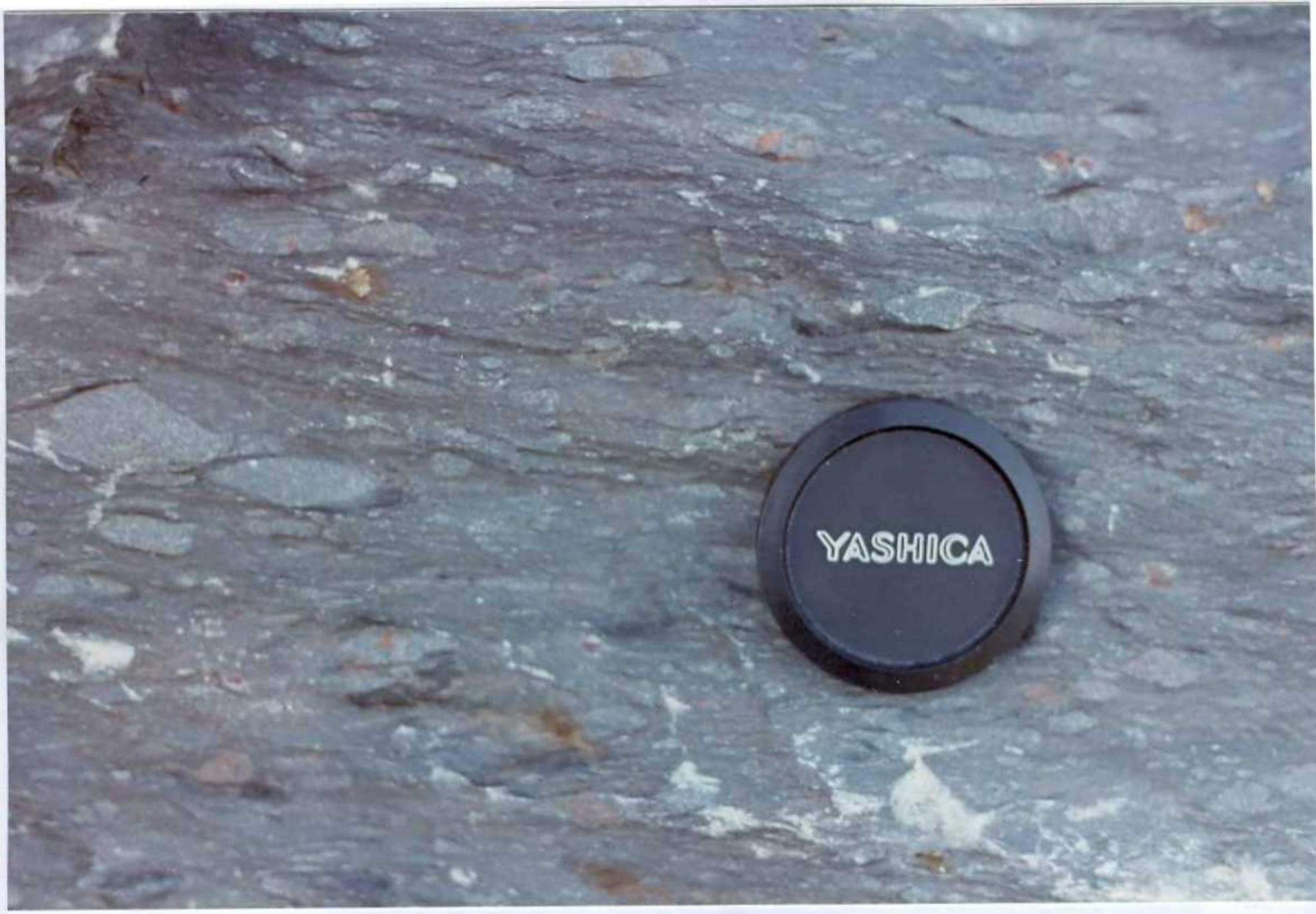
LB 900~~4~~

Detalle de las grauvacas feldespáticas de la foto - anterior.



LB 9006

Vista de cantera abandonada de materiales del C.E.G. en la carretera a Galisteo.



LB 9007

Detalle del tramo conglomerático de la foto anterior en donde se ven la deformación de los cantos, con el eje principal según la esquistosidad S_1.



LB 9008

Panorámica del flanco N del Sinclinal de Cañaveral en el Puerto de la Serrana. El resalte - corresponde a la cuarcita armoricana (8) del Ordovicico inf. Por encima, pizarras (9) del - Ordovícico medio. Debajo, coluviones (30) y depósitos del C.E.G. (7) del Precámbrico superior.



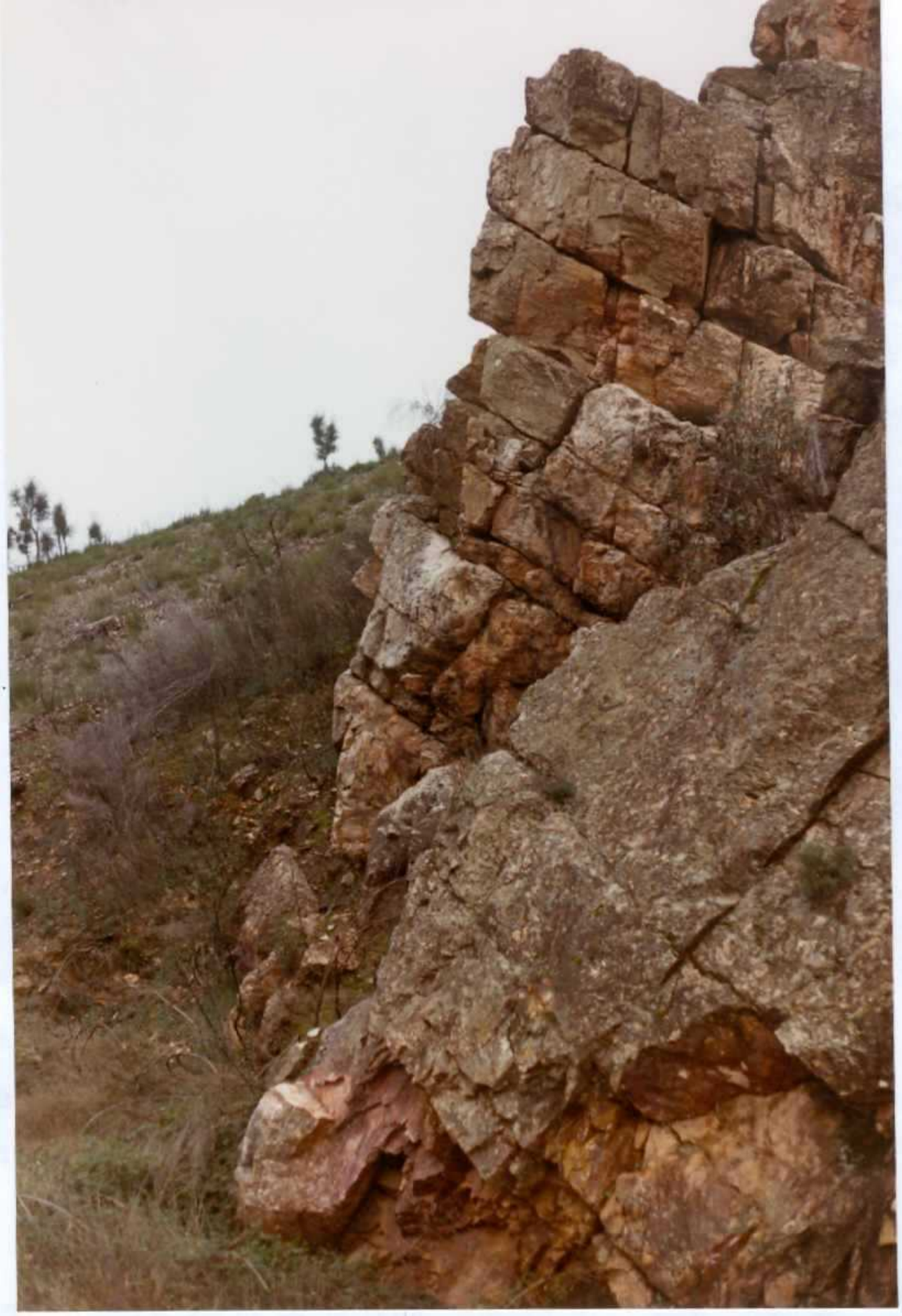
LB 9009

Panorámica de las cuarcitas (8) del Ordovícico inferior perteneciente al flanco N (normal) del Sinclinal de Cañaveral, tomada en el camino particular a los saltos de Torrejón.



LB 9010

Vista parcial de pliegue de cuarcitas de la foto anterior.



LB 9011
Vista parcial de estratificación en la base del tramo cuarcítico (8) del Ordovícico inferior; a la derecha depósitos coluvionares (30) recubriendo a los materiales del C.E.G. (7) del Precámbrico superior.



LB 9012

Detalle de cuarcitas de la foto anterior.



LB 9013

Detalle de ripples en las cuarcitas del Ordovícico inferior (8).



LB 9014

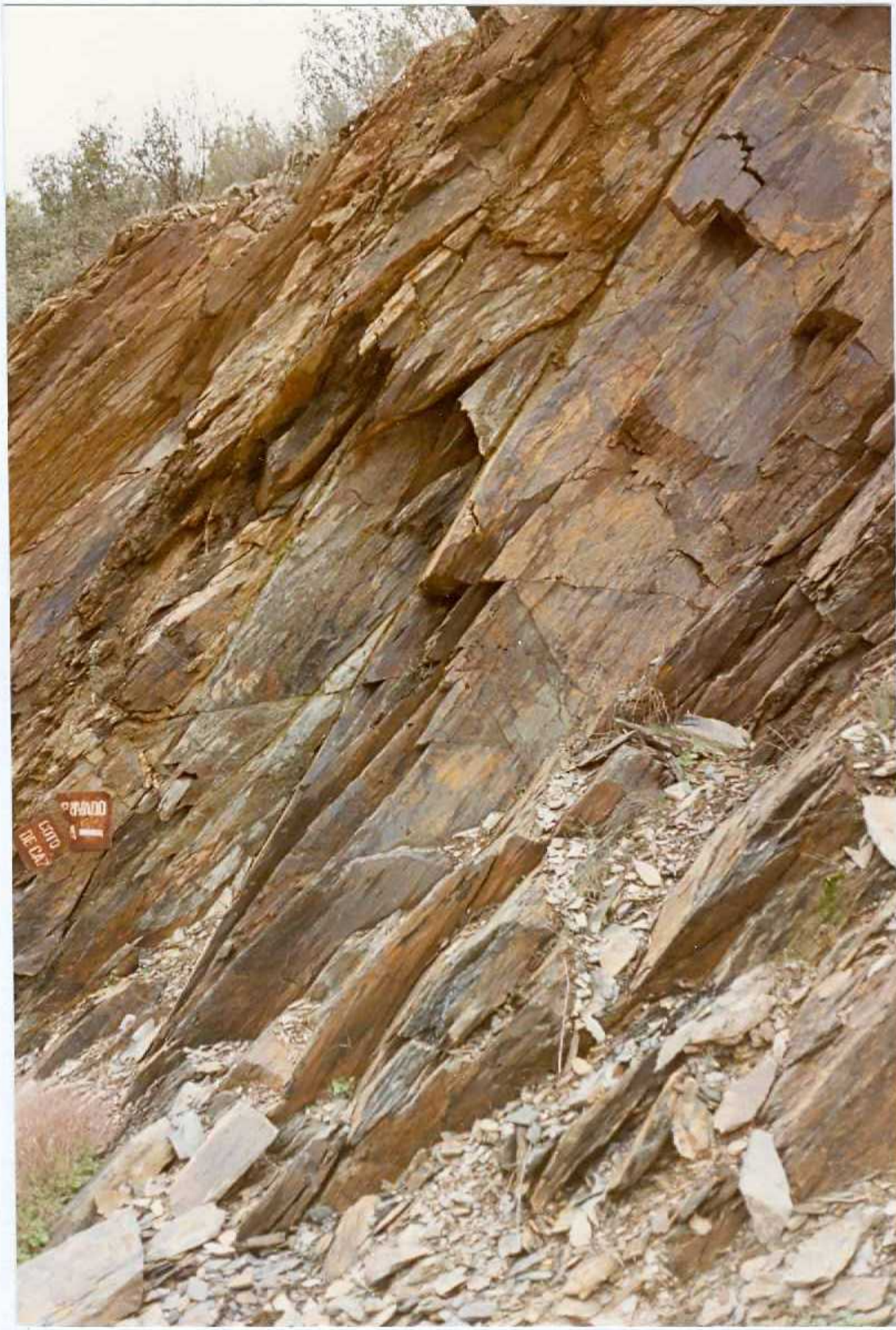
Detalle de pequeños pliegues de arrastre del flanco N del Sinclinal de Cañaveral, en cuarcitas del Ordovícico inferior (8).



LB 9015

Panorámica de la sierra de la Umbría. Flanco S (invertido) del Sinclinal de Cañaveral,

1. cuarcitas (8) Ordovícico inferior
2. pizarras con intercalaciones de cuarcitas (9) Ordovícico Medio
3. cuarcitas (10) Ordovícico medio-superior
4. pizarras (11) Ordovícico superior



LB 9016

Vista parcial de pizarras (9) del Ordovícico medio de la foto anterior.



LB 9017

Detalle de las pizarras con piritas de la foto anterior.



LB 9018

Vista parcial de cuarcitas (invertidas) del Ordovícico medio-superior (11).



LB 9019
Detalle dela foto anterior, en donde el paquete de pizarras sería el techo de la megasecuencia positiva invertida y las cuarcitas de la parte baja, donde está situado el martillo, la base de la siguiente.



LB 9020

Panorámica de la estructura sinclinal de Cañaveral.

1. Cuarcitas. cuarcita armoricana (8)Ordovícico inferior.
2. Pizarras con intercalaciones de cuarcitas (9) Ordovícico medio.
3. Cuarcitas (10) Ordovícico medio-superior.
4. Pizarras (11) Ordovícico superior.
5. Cuarcitas (12). Silúrico inferior
6. Pizarras, areniscas y pizarras ampelíticas (13) Silúrico inferior.



LB 9021

Vista parcial del contacto entre las cuarcitas (10) del Ordovícico medio-superior y las pizarras (11) del Ordovícico superior.



LB 9022

Vista parcial de estratos con estructuras almohadillas, estructuras de carga y grandes flutes, en sedimentos - del Ordovícico superior (11). (Serie invertida)



LB 9023

Detalle de seudonodulos samíticos blanquecinos "flotando" en un paquete mas pelítico grisáceo. Observese el enrraizamiento del seudonódulo de la derecha con la base del paquete superior (Serie invertida)



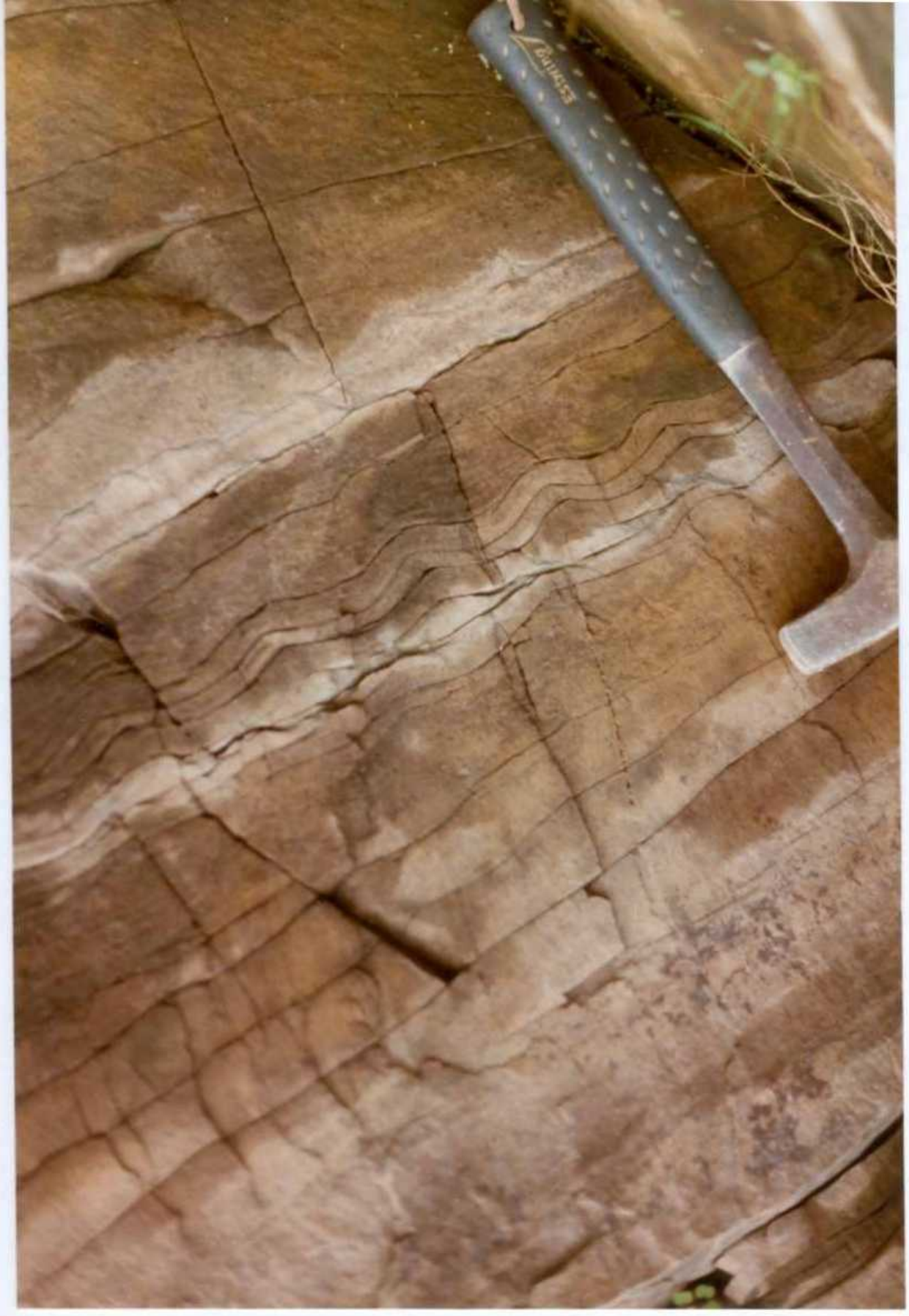
LB 9024

Vista parcial de afloramientos invertidos del Ordovícico superior (11) con abundantes acuñamientos, estructuras de deformación (carga y almohadilladas), flutes y slumps. También se aprecia con claridad en los niveles más pelíticos la esquistosidad de primera fase S_1.



LB 9025

Ripples y laminaciones en tramo samítico del Ordovícico - sup. Observese en el angulo superior izquierdo la esquistosidad S_1



LB 9026
Detalle de secuencia de Bouma truncada -- (invertida) Ta-d en niveles samíticos -- del Ordovícico superior (11).



LB 9027

Detalle de nivel de conglomerados hacia el techo de las cuarcitas (10) del Ordovícico med-sup.



LB 9028

Vista parcial de anticlinal de cuarcitas (10) del Ordovícico medio superior fracturado por fallas subparalelas a la estructura general en la c. particular a los Saltos de Torrejón.



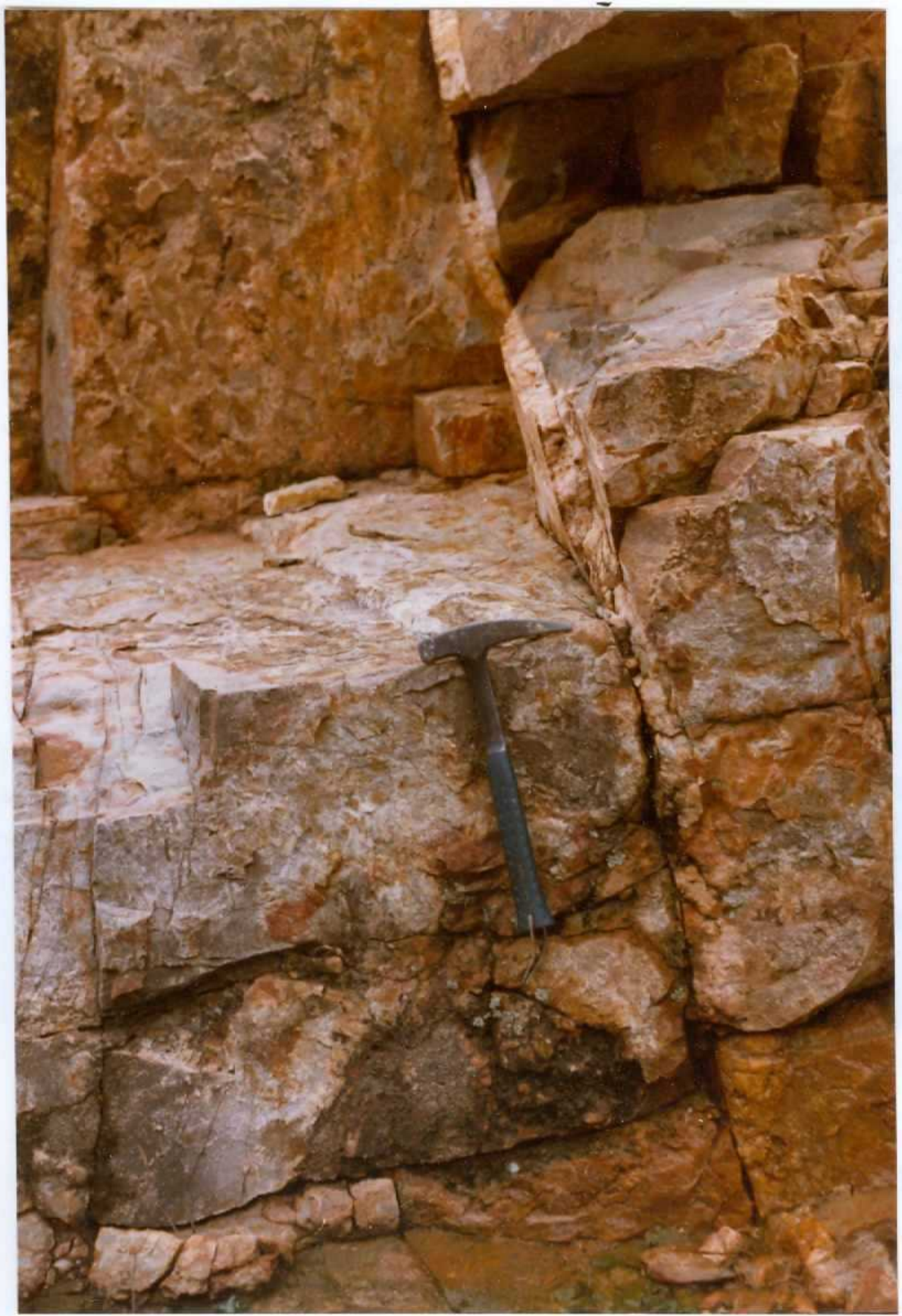
LB 9029

Detalle de pliegue de cuarcitas (10) en donde se ven flancos normales e invertidos que sirven de ejemplo, a pequeña escala, de la estructura del Sinclinal de - Cañaveral.



LB 9030

Panorámica de los sedimentos del Silúrico inferior. Al fondo cuarcitas (12) el resto pizarras, areniscas (13) y tuff volcánico (V) (en primer plano).



LB 9031
Detalle de las cuarcitas del Silúrico inferior -- (12)



LB 9032

Detalle de niveles areniscosos de la unidad cartográfica (13) pertenecinetes al Silúrico inferior.



LB 9033

Detalle de pizarras ampelíticas con graptolites del Silúrico inferior (13).



LB 9034

Vista parcial del tuff volcánico V interestratificado en pizarras del Silúrico inferior (13)



LB 9035

Detalle de la foto anterior.



LB 9036

Vista parcial de arcosas y subarcosas terciarias a la cuenca -- del Tietar (14).



LB 9037

Detalle de los depósitos de la foto anterior.



LB 9038

Vista parcial del contacto entre los depósitos terciarios asociados a la falla de Alentejo-Plasencia (15) y los materiales del C.E.G. del Precámbrico superior.



LB 9039

Detalle de sedimentos terciarios de la foto anterior.



LB 9040

Panorámica de los sedimentos terciarios asociados a la - falla de Alentejo-Plasencia (15). A ambos lados, materiales del C.E.G. del Precámbrico superior y al fondo los - relieves graníticos del área Bejar-Plasencia.



LB 9041
Panorámica de los diferentes niveles de terrazas existentes en el camino particular a los Saltos de Torrejón.



LB 9042

Vista parcial de explotación para áridos de materiales arcosicos y subarcosicos terciarios (14) de la cuenca del Tietar y cantos de terrazas cuaternarias.



LB 9043

Detalle del contacto existente en la foto anterior entre sedimentos arcosicos (14) y terraza (26) situada a 20-25 m. de la cota actual del río Tietar.



LB 9044

Panorámica de nivel de terraza (26) en las proximidades de la casa de la Reguerta.



LB 9045

Detalle de los cantos existentes en la terraza de la foto anterior.



LB 9046

Vista parcial de los coluviones (30) adosados a los relieves paleozoicos.



LB 9047

Detalle de los cantos angulosos cuarcíticos y matriz arcillosa rojiza de la foto anterior.



LB 9048

Vista parcial de esquistos mosqueados (1) existentes en las proximidades al área granítica de Bejar-Plasencia. (Zona nordoriental de la hoja).



LB 9049

Panorámica de los depósitos terciarios y cuaternarios de la Vega del Tietar. En primer plano a la izquierda, leucogranitos (5) y a la derecha, materiales del C.E.G. con metamorfismo de -- contacto (1).



LB 9050

Vista parcial de los leucogranitos (5) del área de Bejar-Plasencia.



LB 9051

Detalle de leucogranitos con una cierta orientación que deben su origen a la extrusión de los mismos.



LB 9052

Detalle de granitos de dos micas (± sillimanita) con caracter porfídico variable (6).



LB 9053
Detalle de megacristales existentes en los granitos de dos micas (± sillimanita) con caracter porfídico variable (6).



LB 9054

Panorámica del área Bejar-Plasencia en la c.c.a. Tejada del Tietar. Los relieves de la derecha corresponden a las facies de leucogranitos (5). Detrás migmatitas (4) y a la izquierda, en la zona de monte bajo, las facies de granitos de dos micas con caracter porfídico (6).